

بررسی عملکرد چرخ‌دنده ساده در رژیم روان کاری الاستوهدیرودینامیک مخلوط

مرتضی پارسا^۱، صالح اکبرزاده^{۲*}

۱- دانشجوی کارشناسی ارشد، مهندسی مکانیک، دانشگاه صنعتی اصفهان، اصفهان

۲- استادیار، مهندسی مکانیک، دانشگاه صنعتی اصفهان، اصفهان

* اصفهان، صندوق پستی ۸۴۱۵۶-۸۳۱۱۱

اطلاعات مقاله

مقاله پژوهشی کامل

دریافت: ۰۵ مرداد ۱۳۹۲

پذیرش: ۱۱ شهرور ۱۳۹۲

ارائه در سایت: ۳۰ تیر ۱۳۹۳

کلید واژگان:

چرخ‌دنده ساده

روش تقسیم بار

پارامتر فیلم روان کار

ضریب اصطکاک

چکیده
 تحلیل لایه روان کاری که در بین دندانه‌های چرخ‌دنده‌های درگیر تشکیل می‌شود در پیش‌بینی عملکرد سیستم انتقال قدرت و همچنین افت مجموعه و خرابی سطوح چرخ‌دنده از اهمیت بالایی برخوردار است. سطوح چرخ‌دنده نسبت به سطوح اجزایی مانند یاتاقان‌های غلتی زیباتر است و این باعث می‌شود که اثرات زیستی در تحلیل عملکرد چرخ‌دنده از اهمیت بالایی برخوردار باشد. در این پژوهش، به کمک روش تقسیم بار تحلیل چرخ‌دنده‌های ساده که در رژیم الاستوهدیرودینامیک مخلوط عمل می‌نمایند ارائه شده است. در اثر تماس زیستی‌های سطح چرخ‌دنده و پیش‌بینی، زیستی‌ها دچار تغییر شکل‌های الاستیک، الاستوپلاستیک و پلاستیک کامل می‌شوند. درگیری پیش‌بینی و چرخ‌دنده برای هر نقطه در امتداد خط عمل با دو استوانه جایگزین شده است. خروجی‌های این مدل، ضخامت لایه روان کار، ضریب اصطکاک و میزان بار تحمل شده توسط لایه روان کار و میزان بار تحمل شده توسط تماس زیستی‌ها است که به کمک روش تقسیم بار تعیین می‌گردد. صحبت‌سنجی مدل پیشنهادی با مقایسه نتایج پیش‌بینی شده در این مدل با نتایج مدل‌های موجود در زمینه تحلیل چرخ‌دنده‌های ساده انجام شده است. مدل ارائه شده در این مقاله با لحاظ کردن اثر زیستی سطح، زمان بسیار کوتاهی برای پیش‌بینی عملکرد سیستم چرخ‌دنده‌پیش‌بینی دارد و در عین حال از دقت قابل قبولی برخوردار است.

Study on the performance of spur gears in mixed- elastohydrodynamic lubrication

Morteza Parsa, Saleh Akbarzadeh*

Department of Mechanical Engineering, Isfahan University of Technology, Isfahan, Iran
 * P.O.B. 8415683111 Isfahan, Iran, s.akbarzadeh@cc.iut.ac.ir

ARTICLE INFORMATION

Original Research Paper

Received 27 July 2013

Accepted 02 September 2013

Available Online 21 July 2014

Keywords:

Spur gear

Load-sharing concept

Film parameter

Friction coefficient

ABSTRACT

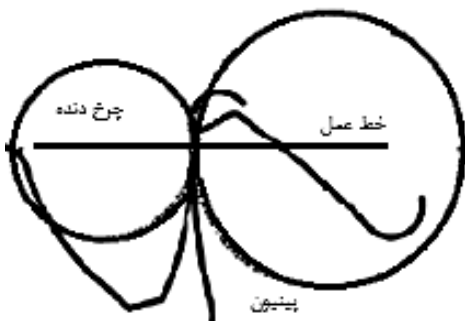
Study on the lubricant film which is formed between the engaged teeth of pinion and gear is of high importance in predicting the performance of the power transmission system as well as surface failure and wear. Gear surfaces in comparison to rolling element bearings have a higher surface roughness and thus considering the surface roughness is important in gear analysis. In this research, the performance of a pinion-gear system operating under mixed-elastohydrodynamic lubrication is being investigated using load-sharing concept. The contacting asperities might experience elastic, elasto-plastic or fully plastic contact. The radii of these cylinders as well as the exerted load vary along the line of action. Using load-sharing concept, the proposed model can predict the lubricant film thickness, friction coefficient, and portion of the total load that is carried by asperities as well as lubricant film. The predicted results are verified by comparison to other available methods which are published in the literature. The main advantages of the model are that the model does not require solving the full EHL equations. Also, it generates reasonable results for rough surfaces. This model can be used as a rapid prediction for the gear performance.

۱- مقدمه

چرخ‌دنده‌ها برای انتقال توان بین محورهای موادی به کار می‌روند. به علت بازده نسبتاً بالای چرخ‌دنده‌ها، انواع این چرخ‌دنده در سیستم‌های انتقال قدرت مورد استفاده قرار می‌گیرند. به همین علت قابلیت پیش‌بینی عملکرد چرخ‌دنده‌ها از اهمیت بالایی برخوردار است. با روان کاری چرخ‌دنده‌ها، لایه‌ای از روان کار در بین دندانه‌های چرخ‌دنده تشکیل می‌شود که نقش مهمی در عملکرد چرخ‌دنده دارد. عموماً رژیم روان کاری چرخ‌دنده‌ها، رژیم روان کاری برای ارجاع به این مقاله از عبارت ذیل استفاده نمایید:

Please cite this article using:

M. Parsa, S. Akbarzadeh, Study on the performance of spur gears in mixed- elastohydrodynamic lubrication, *Modares Mechanical Engineering*, Vol. 14, No. 7, pp. 10-16, 2014.
 (In Persian)



شکل ۱ نحوه جایگزین نمودن تماس یک جفت دندانه با دو استوانه

براساس این روش، کل بار اعمال شده به سطح توسط فیلم روان کار بین سطوح تماس و زیری های سطوح تماس تحمل می شود. برای بدست آوردن نیروی زیری ها از مدل تماس جامع ارائه شده توسط ژائو و همکاران [14] استفاده می شود که علاوه بر در نظر گرفتن تغییر شکل الاستیک برای زیری های در تماس، تغییر شکل الاستوپلاستیک و پلاستیک کامل نیز در نظر گرفته می شود. نیروی تحمل شده توسط فیلم روان کار با استفاده از مدل گرین وود و تریپ و معادله ضخامت فیلم روان کار توسط رابطه موز [15] به دست می آید.

همانند نیروی اعمالی F_T که بین فیلم روان کار F_H و زیری ها F_C تقسیم می شود، نیروی اصطکاک کل F_f به دو جزء تقسیم می شود. جزء اول، اصطکاک ایجاد شده به دلیل تماس زیری ها است که با $F_{f,C}$ نشان داده می شود، جزء دوم که مربوط به فیلم روان کار است ناشی از خاصیت برشی فیلم روان کار است که با $F_{f,H}$ نشان داده می شود. مجموعه روابط مورد نیاز برای بدست آوردن ضریب اصطکاک در روابط (1) تا (4) آورده شده است.

$$f = \frac{F_f}{F_T} = f_c + f_H \quad (1)$$

$$F_f = F_{f,C} + F_{f,H} \quad (2)$$

$$F_{f,C} = \sum_{i=1}^N \iint A_{Ci} \tau_{Ci} dA_{Ci} = f_c F_C \quad (3)$$

$$F_{f,H} = \frac{U_{dif} \eta}{S} \times A_H = \tau_H A_H = f_H F_H \quad (4)$$

که در آن f ضریب اصطکاک، f_c ضریب اصطکاک زیری ها، f_H ضریب اصطکاک فیلم روان کار، η لزجت دینامیکی بر حسب (Pa.s)، U_{dif} تفاضل سرعت های موثر دو سطح در تماس بر حسب (m/s) و S جدایش محلی بین سطوح بر حسب (m) است. با توجه به این مطلب که سطح تماس اسمی A_{nom} ، ترکیبی از سطح تماس زیری ها A_C و سطح تماس فیلم روان کار A_H است، رابطه (5) برقرار است.

$$A_{nom} = A_C + A_H \quad (5)$$

گرین وود و تریپ [10] نشان دادند که تماس دو سطح زیر را می توان با تماس یک سطح زیر و یک سطح صاف و تخت جایگزین کرد به طوریکه زیری سطح جایگزین شده ترکیبی از زیری دو سطح در تماس است. در این تحقیق با استفاده از مدل جانسون و همکاران [13]، جدایش بین دو سطح زیر یا به عبارت دیگر فاصله بین صفحه متوجه ارتفاع سطح زیر و صفحه صاف برابر ضخامت مرکزی فیلم روان کار است. برای ضخامت لایه روان کار روابط مختلفی تاکنون ارائه شده است [15 و 16] که در این مقاله از رابطه پیشنهاد شده توسط موز ایجاد شده است [15]. در شکل ۲ پروفیل زیری سطح به کارفته و نحوه تماس سطح زیر معادل با سطح صاف و تخت نمایش داده شده است.

استفاده کرد. در مورد ضریب اصطکاک که یکی از مهم ترین پارامترهای کلیدی در تحلیل چرخ دنده است تحقیقات زیادی انجام شده که در بیشتر این تحقیقات فرمول های تجربی برای پیش بینی ضریب اصطکاک بر حسب سرعت، بار و جنس روغن و چرخ دنده ارائه شده است. تعدادی از مدل های کارایی چرخ دنده از مدل های مختلف روان کاری الاستوهویدرودینامیک (EHL) برای پیش بینی ضریب اصطکاک استفاده می کنند. در میان آن ها داؤسون و هیگینسون [1] و مارتین [2] با فرض صیقلی بودن سطوح تماس، ضریب اصطکاک را با استفاده از مدل EHL سطوح صاف به دست آورده اند. اکیز و رادزیموفسکی [3] مدلی را برای چرخ دنده های ساده که تحت بار سبک بارگذاری شده و رژیم روان کاری در آن ها الاستوهویدرودینامیک است توسعه داده اند. سایمون [4] از مدل تماسی EHL نقطه ای برای چرخ دنده های ساده تاج گذاری شده تحت بارگذاری شدید با فرض سطوح صیقلی استفاده کرد. او تغییر شکل های الاستیک سطوح را به علت اثری که بر توزیع فشار روان کار دارند در نظر گرفت. لارسون [5] از تحلیل EHL گذرا برای اینولوت چرخ دنده ساده همراه با سطوح صیقلی استفاده کرده است. در این تحلیل از ضخامت فیلم هم دما و فرض روان کار غیر نیوتونی استفاده شده است. در این تحلیل فرض شده که دندانه های چرخ دنده صلب است. ونگ [6] روان کاری چرخ دنده ساده را با استفاده از مدل تماسی EHL گذرا همراه با اثر دمایی برای روان کار نیوتونی تحلیل کرد. در این مدل فرض شده است که دندانه های چرخ دنده صلب و دارای سطحی صیقلی هستند. ونگ [7] مدل اصطکاک را برای چرخ دنده ساده براساس تحلیل تماس EHL مخلوط سطوح زیر توسعه داده است. زیری ها دارای شعاع انحنای مشابه در نظر گرفته شده است و ارتفاع زیری ها دارای توزیعی گاوی هستند. میهای لیدس [8] تأثیر زیری سطوح در تماس را در محاسبه ضریب اصطکاک در نظر گرفته است. اکبرزاده و خوانساری [9] با استفاده از مدل های گرین وود و تریپ [10] و گلینک و شیرپ [11] به بررسی پارامترهای عملکرد چرخ دنده پرداخته اند. در مدل ارائه شده توسط ایشان هر دو نوع روان کار نیوتونی و غیر نیوتونی برای سطوح زیر مورد استفاده قرار گرفته است. مسجدی و خوانساری [12] با حل معادله رینولدز و با در نظر گرفتن زیری سطوح تماس، روابطی برای ضخامت فیلم روان کار و همچنین بار حمل شده توسط زیری ها ارائه کرده اند.

در این تحقیق، رژیم روان کاری الاستوهویدرودینامیکی مخلوط که در چرخ دنده ها رخ می دهد، مدل سازی شده است. برای این کار، علاوه بر تغییر شکل های الاستیک زیری های در حال تماس، تغییر شکل الاستوپلاستیک و تغییر شکل پلاستیک زیری ها نیز در نظر گرفته شده است. پارامترهای عملکردی چرخ دنده مانند ضخامت لایه روان کار و همچنین میزان بار تحمل شده تماس زیری ها پیش بینی شده است.

۲- مدل سازی

هنگام تماس دندانه های چرخ دنده ساده، نقاط تماس در امتداد خط عمل است و طول خط تماس ثابت است. در این تحقیق تماس پروفیل اینولوت چرخ دنده و پینیون در امتداد خط عمل با تماس دو استوانه جایگزین می شود که شعاع استوانه های جایگزین شده برای شعاع انحنای چرخ دنده و پینیون است. شعاع انحنای استوانه ها در هر نقطه از خط عمل دارای مقادیر مختلفی می باشند. شکل ۱ جایگزین کردن تماس در یک نقطه از پروفیل چرخ دنده با تماس دو استوانه را نشان می دهد.

همچنین بار اعمال شده به دو استوانه در حال تماس، برابر نیروی اعمال شده به آن نقطه تماس چرخ دنده و پینیون است. در این تحقیق از روش تقسیم بار ارائه شده توسط جانسون و همکاران [13] استفاده می شود.

که در آن H سختی ماده مورد استفاده و β شعاع متوسط زبری ها است. هنگامی که مقدار تورفتگی یک زبری از مقدار تورفتگی بحرانی بیشتر باشد، تغییرشکل الاستوپلاستیک و یا پلاستیک اتفاق میافتد. در سال 1985 جانسون [18] بیان کرد که رژیم پلاستیک کامل وقتی برای ماده اتفاق میافتد که مقدار تورفتگی یک زبری حدوداً 54 برابر مقدار تورفتگی بحرانی باشد. طبق رابطه (16) داریم:

$$W_p \approx 54W_e \quad (16)$$

بنابراین بین ناحیه تغییر شکل الاستیک و ناحیه تغییر شکل پلاستیک کامل، ناحیه وسیعی از ناحیه تغییر شکل الاستوپلاستیک است. براساس کار انجام شده توسط جانسون [18] و همچنین آبات و فایرستون [19] مساحت تماس کاملاً پلاستیک به صورت رابطه (17) بیان میشود.

$$A_p = 2\pi\beta\omega \quad (17)$$

از آن [14] در سال 2000 رابطه (18) را برای سطح تماس زبری در ناحیه تغییر شکل الاستوپلاستیک به شکل زیر ارائه نمود:

$$A_{lep} = \pi\beta W_i \left(1 - 2 \left(\frac{W_i - W_e}{W_p - W_e} \right)^3 + \left(\frac{W_i - W_e}{W_p - W_e} \right)^2 \right) \quad (18)$$

که در آن W_i عمق تورفتگی زبری ایم، W_e عمق تورفتگی الاستیک و W_p عمق تورفتگی پلاستیک است.

برای محاسبه سطح تماس زبری ها و نیروی حمل شده توسط زبری ها برای سه ناحیه تغییر شکل الاستیک، الاستوپلاستیک و پلاستیک کامل میتوان به ترتیب از روابط (19) که توسط زائو [14] ارائه شده استفاده کرد.

$$A_{le} = \pi\beta W_i$$

$$A_{lep} = \pi\beta W_i \left(1 - 2 \left(\frac{W_i - W_e}{W_p - W_e} \right)^3 + \left(\frac{W_i - W_e}{W_p - W_e} \right)^2 \right)$$

$$A_p = 2\pi\omega\beta$$

$$F_{ie}(W_i) = \frac{4}{3} E' \beta^{0.5} W_i^{1.5}$$

$$F_{iep}(W_i) = \left(H - 0.6H \frac{\ln W_p - \ln W_i}{\ln W_p - \ln W_e} \right) \times A_{lep} \quad (19)$$

که در آن A_{le} مساحت الاستیک، A_{lep} مساحت الاستوپلاستیک، F_{ie} نیروی الاستوپلاستیک، F_{iep} نیروی الاستیک، F_{ip} سطح تماس کل زبری ها و F_c بار کلی حمل شده توسط پلاستیک است. A_c سطح تماس کل زبری ها و F_c بار کلی حمل شده است. آن ها از جمع تمام مؤلفه های جزئی به صورت رابطه (20) بدست میآیند:

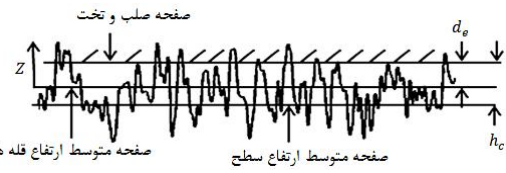
$$A_c = \sum A_i(W_i) \quad (20)$$

$$F_c = \sum F_i(W_i)$$

3- روش حل

برای حل این مسئله نیاز است پارامترهایی مانند مشخصات هندسی، شرایط کاری چرخ دنده و مشخصات روان کار مشخص شده باشد که در جدول 1 آورده شده است، همچنین اطلاعات مربوط به زبری سطح چرخ دنده در جدول 2 آورده شده است. ترتیب حل معادلات برای بدست آوردن ضریب اصطکاک به صورت شماتیک در شکل 3 آورده شده است.

ابتدا تحلیل هندسی و نیرویی چرخ دنده انجام میشود. به عبارت دیگر، طول خط عمل به تعداد زیادی قسمت (مثلاً صد قسمت) تقسیم میگردد و برای هر نقطه بر روی خط عمل شعاع استوانه های جایگزین شده و همچنین نیروی اعمال شده تعیین میشوند.



شکل 2 تماس سطح زبر معادل با یک سطح صاف و تخت

معادله ضخامت فیلم روان کار ارائه شده توسط موز که برای سطوح صاف کاربرد دارد به صورت زیر است. طبق روابط (6) و (7) داریم:

$$H_c = \left[(H_{RI}^{7/3} + H_{EI}^{7/3})^{3s/7} + (H_{RP}^{-7/2} + H_{EP}^{-7/2})^{-2s/7} \right]^{1/s} \quad (6)$$

$$S = \frac{1}{5} \left[7 + 8 \exp \left(\frac{-2H_{EI}}{H_{RI}} \right) \right] \quad (7)$$

که در آن H_{EI} , H_{EP} , H_{RI} و H_{RP} اعداد بدون بعدی هستند که به صورت رابطه (8) تعریف میشوند:

$$\begin{aligned} H_{EI} &= 2.621 M^{-1/5}, & H_{RP} &= 1.285 L^{-2/3} \\ H_{EP} &= 1.311 L^{3/4} M^{-1/8}, & H_{RI} &= 3 M^{-1} \\ L &= G U_{\Sigma}^{-0.5}, & M &= W U_{\Sigma}^{-0.5} \\ H_c &= h_c' U_{\Sigma}^{-0.5}, & G &= \alpha E' \\ h_c' &= \frac{h_c}{R}, & W &= \frac{F_T}{E' R B} \\ U_{\Sigma} &= \frac{\eta_0 U_s}{E' R} \end{aligned} \quad (8)$$

که در آن H_c عدد بی بعد ضخامت لایه روان کار، G و L اعداد بی بعد روان کار و M عدد بی بعد بار، U_{Σ} عدد بی بعد سرعت و W عدد بی بعد بار است. به منظور استفاده از معادله مذکور برای سطوح زبر در تماس، از ضرایب نسبت ارائه شده توسط جانسون و همکاران [13] که به صورت زیر تعریف میشوند، استفاده میشود. طبق روابط (9) و (10) داریم:

$$F_T = F_H + F_C \quad (9)$$

$$\frac{F_H}{F_T} + \frac{F_C}{F_T} = \frac{1}{\gamma_1} + \frac{1}{\gamma_2} = 1 \quad (10)$$

که در آن γ_1 ضریب نسبت فیلم روان کار و γ_2 ضریب نسبت زبری ها است. ضخامت مرکزی فیلم روان کار بین سطح زبر معادل و سطح صاف و تخت در حضور روان کار به صورت روابط (11) و (12) نوشته میشود:

$$H_c = \left[\gamma_1^s (H_{RI}^{7/3} + H_{EI}^{7/3})^{3s/7} + (H_{RP}^{-7/2} + H_{EP}^{-7/2})^{-2s/7} \right]^{1/s} \quad (11)$$

$$S = \frac{1}{5} \left[7 + 8 \exp \left(\frac{-2H_{EI}\gamma_1^{-2/5}}{H_{RI}} \right) \right] \quad (12)$$

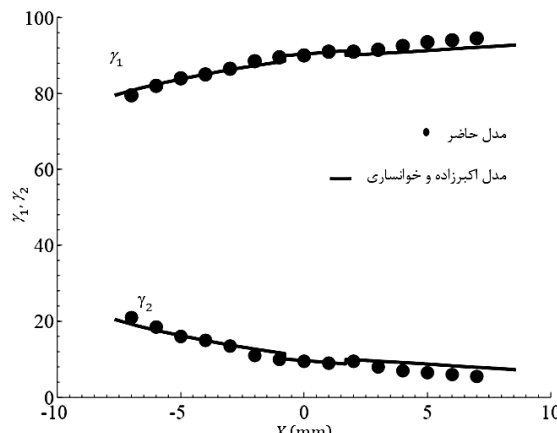
برای بدست آوردن نیروی تحمل شده توسط تماس زبری ها از تئوری واقعی تماس استفاده میشود. در این تحقیق فرض میشود که شکل تمام زبری ها به صورت کروی است و دارای شعاع مساوی β (شعاع متوسط تماس زبری ها) میباشند. برای فاصله معین d_e ، عمق تورفتگی که میزان تخت شدگی قله یک زبری توسط صفحه صاف و تخت است برای هر زبری بر حسب ارتفاع زبری و d_e به صورت روابط (13) و (14) است:

$$d_e = 0.7h_c \quad (13)$$

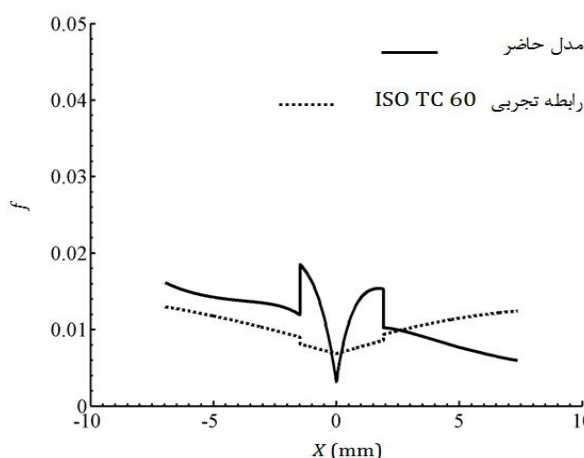
$$W_i = Z_i - d_e \quad (14)$$

گرینوود و ویلیامسون [17] تورفتگی الاستیک برای یک زبری تغییرشکل داده را به صورت رابطه (15) پیشنهاد دادند:

$$W_e = 0.94 \left(\frac{H}{E'} \right)^2 \beta \quad (15)$$



شکل 4 مقایسه ضرایب نسبت با نتایج مرجع [9]



شکل 5 مقایسه ضریب اصطکاک بین مدل حاضر و رابطه تجربی مرجع [20]

سپس با محاسبه مقدار تغییر شکل برای هر زبری مقدار نیروی تحمل شده توسط هر زبری و سپس مقدار کل نیروی تحمل شده توسط زبری‌ها از روابط (19) و (20) محاسبه می‌گردد. دو مقدار محاسبه شده برای نیروی زبری‌ها با هم مقایسه می‌شوند و در صورتی که اختلاف آن‌ها از مقدار ترانس خطا کمتر باشد، همین مقادیر به عنوان ضرایب نسبت تعیین می‌گردد. با مشخص شدن ضرایب نسبت، ضریب اصطکاک و ضخامت لایه روان کار نیز بدست می‌آیند.

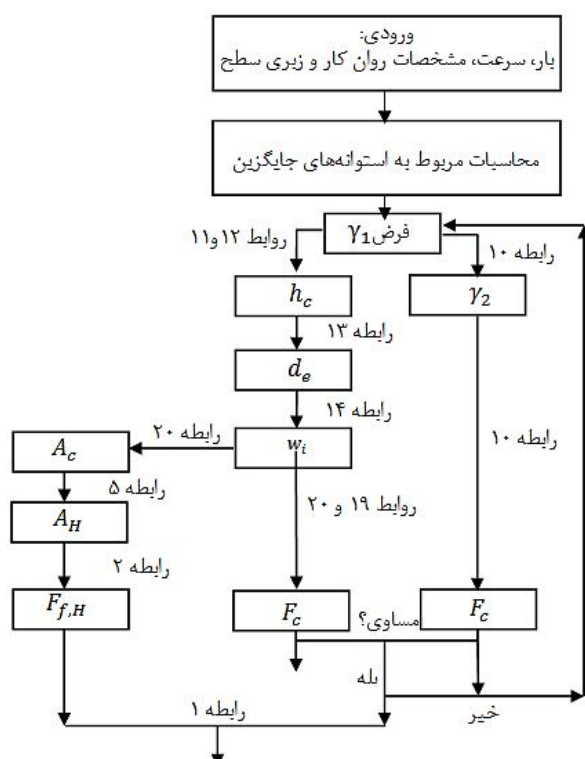
4- اعتبارسنجی

به منظور اعتبارسنجی مدل ارائه شده، مقایسه‌ای بین کارهای انجام شده توسط اکبرزاده و خوانساری [9] و مسجدی و خوانساری [12] و این مدل انجام شده است تا میزان صحت و قابل اطمینان بودن مدل ارائه شده مشخص گردد. همان‌گونه که در شکل 4 نشان داده شده است، درصد باری که فیلم روان کار و زبری تحمل می‌کنند در مدل حاضر و مدل اکبرزاده و خوانساری [9] با هم مقایسه شده است که نشان‌دهنده توافق قابل قبولی بین این دو مدل است. اختلاف موجود به دلیل این است که در مدل حاضر از مدل واقعی تماس استفاده شده ولی در مدل اکبرزاده و خوانساری [9] از مدل آماری تماس استفاده شده و فقط از پارامترهای زبری استفاده شده است.

مقایسه دیگر انجام شده بین ضریب اصطکاک بدست آمده از همین مدل، رابطه (1) و ضریب اصطکاک بدست آمده از فرمول ارائه شده در مرجع [20].

رابطه (15)، است. طبق رابطه (21) (داریم:

$$f_{iso} = 0.12 \left(\frac{FR_q}{R\eta_0 u_s} \right) \quad (21)$$



شکل 3 روند نمای محاسبه ضریب اصطکاک

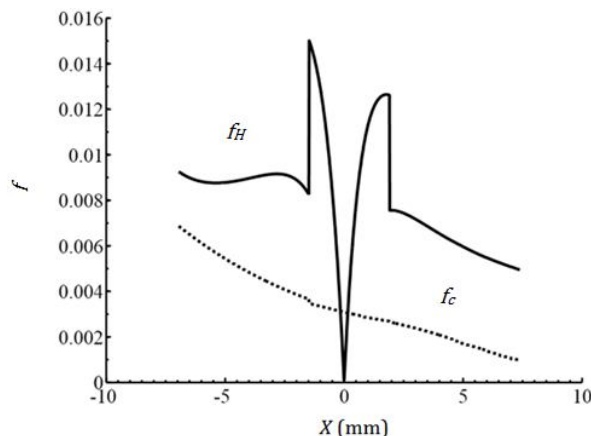
جدول 1 مشخصات چرخ دندۀ و روان کار

مشخصه	مقدار	واحد	تعریف
z_p	21	-	تعداد دندانهای پینیون
z_g	32	-	تعداد دندانهای چرخ دندۀ
m	0/003	m	مدول
d_{wp}	0/0630	m	قطر گام پینیون
ω	1989/4	rpm	سرعت زاویه‌ای پینیون
B	0/16	m	عرض چرخ دندۀ
F	31250	N/m	بار بر واحد عرض
α	20	deg	زاویه فشار
η_0	0/065	Pa.s	لزجت روان کار در فشار محیط
z	0/65	-	اندیس لزجت-فشار
E'	219/78	GPa	مدول الاستیک معادل
H	1	GPa	سختی
T	333/15	K	دماهی اولیه روان کار

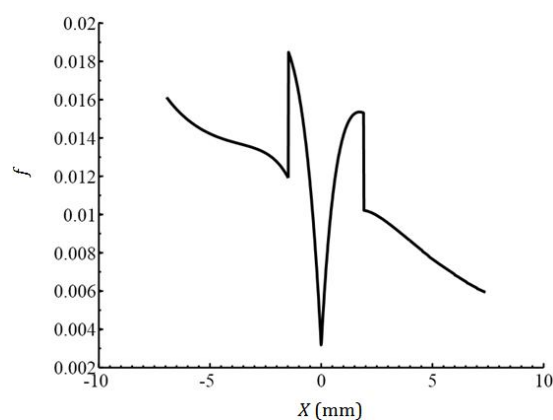
جدول 2 مشخصات زبری سطح

مشخصه	مقدار	واحد	تعریف
R_a	0/7534	μm	زبری میانگین
R_q	0/9317	μm	زبری موثر
β	10/932	μm	متوسط شعاع زبری‌ها
n	$10^9 \times 4/0173$	m ⁻²	چگالی زبری‌ها
f_c	0/1	-	ضریب اصطکاک بین زبری‌ها

سپس برای ضریب نسبت لایه روان کار γ_1 مقداری فرض می‌شود و به کمک رابطه (10) مقدار γ_2 و در نتیجه نیروی تحمل شده توسط زبری‌ها از رابطه (10) بدست می‌آید. از سوی دیگر با دانستن مقدار ضرایب نسبت ضخامت لایه روان کار با لحاظ کردن اثر زبری‌ها از روابط (11) و (12) محاسبه می‌گردد.



شکل ۹ تغییرات ضریب اصطکاک زبری‌ها و فیلم روان‌کار در امتداد خط عمل



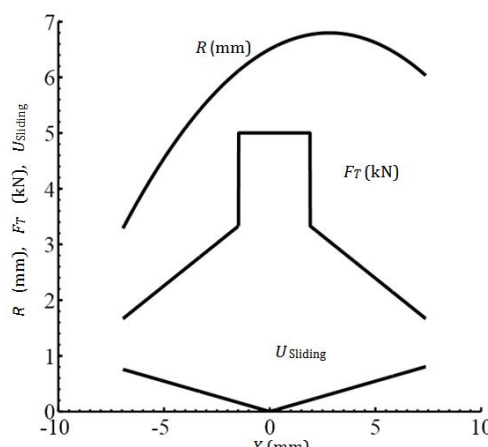
شکل ۱۰ تغییرات ضریب اصطکاک در امتداد خط عمل

پارامتر بدون بعد فیلم روان‌کار که نسبت ضخامت فیلم روان‌کار به زبری ترکیب شده دو سطح در تماس است پارامتری کلیدی در سیستم چرخ‌دنده و پیوند است. طبق رابطه (22) داریم:

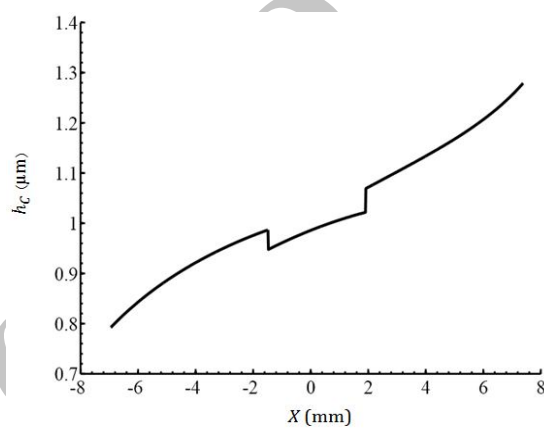
$$\Lambda = \frac{h_c}{\sqrt{\sigma_1^2 + \sigma_2^2}} \quad (22)$$

تغییرات این پارامتر بدون بعد در امتداد خط عمل در شکل ۸ نشان داده شده است. پارامتر فیلم روان‌کار برای تعیین رژیم روان‌کاری مفید است. در صورتی که مقدار پارامتر فیلم روان‌کار کوچک‌تر از یک باشد $\Lambda < 1$ رژیم روان‌کاری مرزی است، این در حالی است که برای رژیم روان‌کاری مخلوط مقدار این پارامتر بین یک و سه است و $\Lambda > 3$ هنگامی که این پارامتر بزرگ‌تر از سه باشد $\Lambda > 3$ رژیم هیدرودینامیک یا الاستوهدرودینامیک اشاره دارد [20]. همان‌طور که در شکل ۸ مشخص است تغییرات این پارامتر برای تحقیق حاضر بجز ابتدای خط عمل بین یک و سه است که نشان دهنده این است که در رژیم روان‌کاری مخلوط قرار داریم. شکل ۹ تغییرات ضریب اصطکاک زبری‌ها و فیلم روان‌کار در امتداد خط عمل را نشان می‌دهد. با توجه به این شکل، ضریب اصطکاک فیلم روان‌کار سهم غالب را از ضریب اصطکاک کلی دارد.

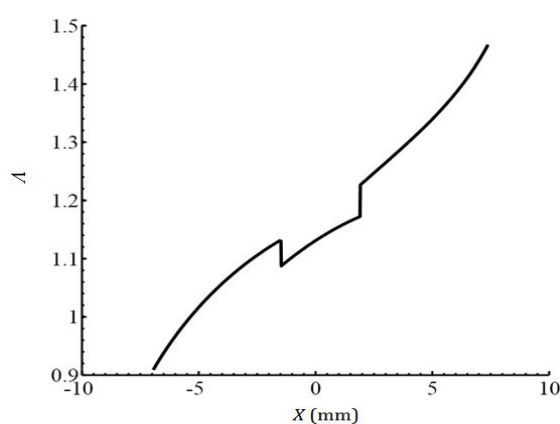
با توجه به شکل ۱۰ با حرکت در امتداد خط عمل، ضخامت فیلم روان‌کار افزایش یافته و باعث کاهش ضریب اصطکاک فیلم روان‌کار می‌شود. در نقطه تغییر اول، تعداد دندانهای در تماس از دو جفت به یک جفت تغییر می‌کند. درنتیجه باز اعمال شده به صورت ناگهانی تغییر می‌کند و ضخامت فیلم روان‌کار کاهش می‌یابد که باعث افزایش ناگهانی در ضریب اصطکاک فیلم روان‌کار می‌شود.



شکل ۶ تغییرات بار اعمالی، شعاع انحنای معادل و سرعت لغزشی در امتداد خط عمل



شکل ۷ تغییرات ضخامت فیلم روان‌کار در امتداد خط عمل

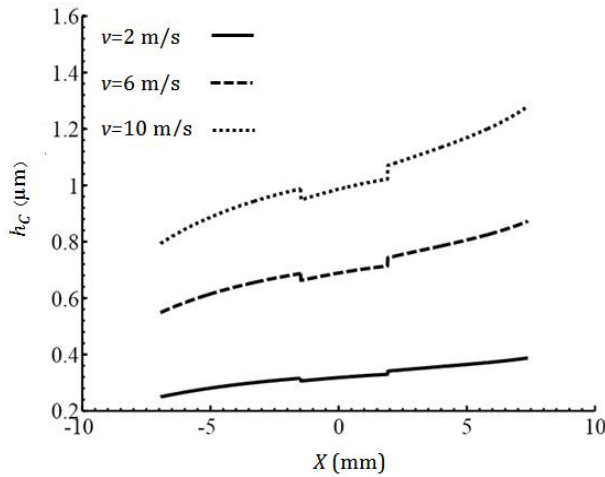


شکل ۸ تغییرات پارامتر فیلم روان‌کار در امتداد خط عمل

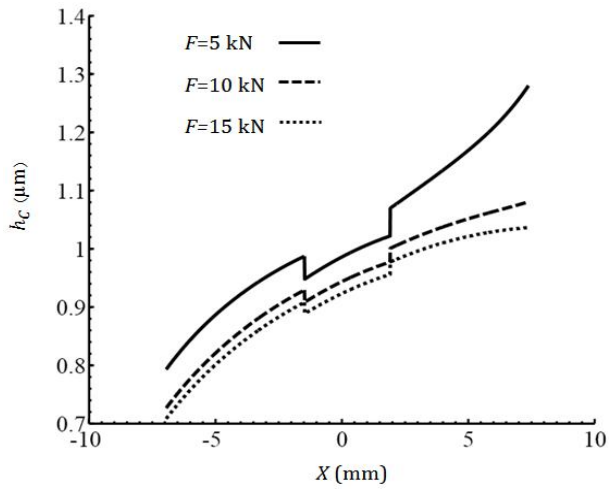
که در آن F بار بر واحد طول (N/mm)، R_q زبری سطح ($μm$)، G شعاع انحنای معادل (mm)، $η_0$ لزجت روان‌کار ($Pa.s$) و U_s سرعت غلتی (m/s) است. شکل ۵ مقایسه‌ای بین ضریب اصطکاک به دست آمده توسعه این مدل و فرمول تجربی ارائه شده توسط مرجع [20] را نشان می‌دهد.

شکل ۶ تغییرات بار اعمالی FT ، شعاع انحنای معادل R و سرعت لغزشی U_{dif} را نشان می‌دهد.

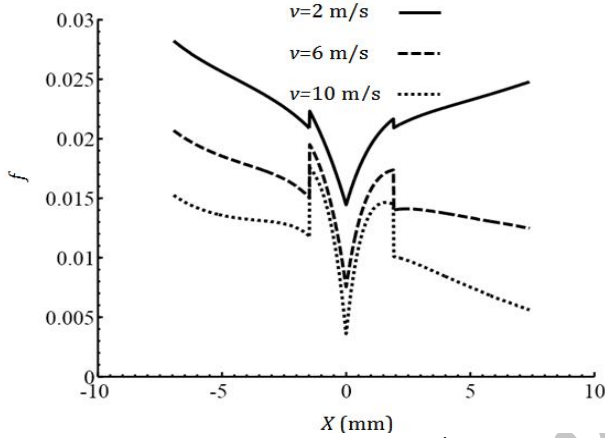
شکل ۷ تغییرات ضخامت فیلم روان‌کار در امتداد خط عمل را نشان می‌دهد. همان‌طور که در روابط بالا مشاهده شد، ضخامت فیلم روان‌کار تابعی از هندسه چرخ‌دنده‌ها، مشخصات روان‌کار، جنس چرخ‌دنده‌ها، بار اعمالی و سرعت غلتی است.



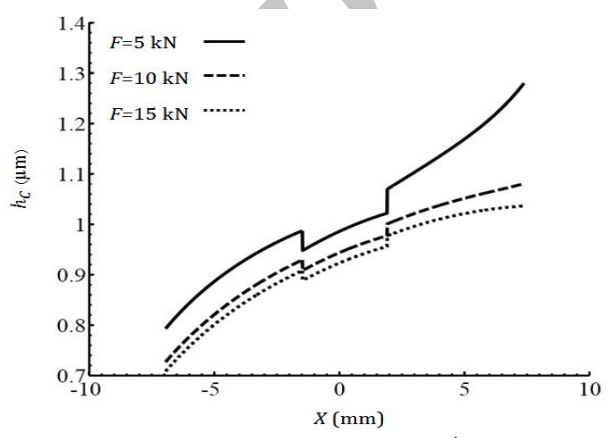
شکل ۱۴ تأثیر سرعت بر ضخامت فیلم روان کار در امتداد خط عمل



شکل ۱۱ تأثیر بار اعمالی بر ضخامت فیلم روان کار در امتداد خط عمل



شکل ۱۵ تأثیر سرعت بر ضریب اصطکاک در امتداد خط عمل



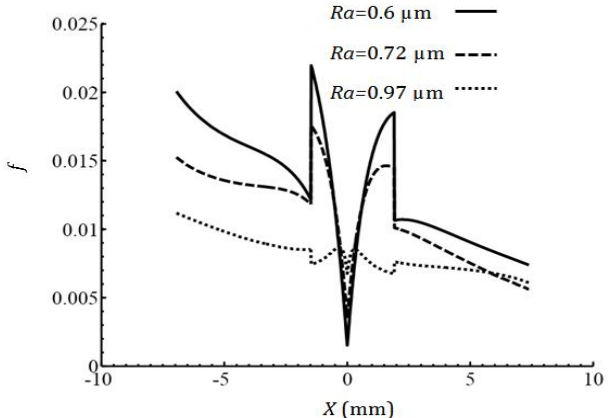
شکل ۱۲ تأثیر بار اعمالی بر ضریب اصطکاک در امتداد خط عمل

بعد از این ناحیه وارد شدن به ناحیه سوم که مربوط به انتهای خط عمل است با توجه به این که ضخامت فیلم روان کار دارای سیری صعودی است، ضریب اصطکاک فیلم روان کار کاهش می‌یابد. شکل ۱۰ تغییرات ضریب اصطکاک را در طول خط عمل چرخ دنده نشان می‌دهد.

یکی از پارامترهای عملکردی در چرخ دنده گشتاور منتقل شده توسط چرخ دنده‌ها است که در روابط این مقاله به صورت نیروی منتقل شده نشان داده شده است. افزایش نیروی کل اعمال شده باعث کاهش ضخامت فیلم روان کار می‌شود که در شکل ۱۱ نشان داده شده است.

شرایط عملکردی چرخ دنده‌های این مقاله به گونه‌ای است که فیلم روان کار دارای سهم غالب در ضریب اصطکاک کل است. بنابراین، کاهش ضخامت فیلم روان کار در اثر افزایش بار اعمال شده باعث افزایش در ضریب اصطکاک فیلم روان کار و درنتیجه کاهش ضریب اصطکاک کل می‌شود که در شکل ۱۲ نشان داده شده است.

یکی دیگر از پارامترهای عملکردی مهم، زبری سطح چرخ دنده‌ها است. در این بخش اثر زبری سطح بر ضریب اصطکاک در نتیجه گام جایی که سرعت لغزشی به بیشتری تتماس، زبری‌های بیشتری با هم تماس پیدا می‌کنند، بنابراین بار زبری سطح تتماس، زبری‌ها تحمیل می‌شود. این در حالی است که سهم فیلم روان کار با افزایش سهم زبری‌ها کاهش پیدا می‌کند. با افزایش زبری سطح تتماس، ضریب اصطکاک زبری‌ها افزایش می‌یابد اما ضریب اصطکاک فیلم روان کار کاهش می‌یابد. به عبارت دیگر، از آنجا که بار حمل شده توسط فیلم روان کار با ضخامت فیلم روان کار رابطه عکس دارد با کاهش بار حمل شده



شکل ۱۳ تأثیر زبری سطح بر ضریب اصطکاک در امتداد خط عمل

در ناحیه میانی، جایی که فقط یک جفت دندانه در تماس است، ضخامت فیلم روان کار افزایش می‌یابد که باعث کاهش ضریب اصطکاک فیلم روان کار می‌شود. این کاهش تا مقدار صفر در نقطه گام جایی که سرعت لغزشی به صفر می‌رسد ادامه می‌یابد. در واقع در نقطه گام ضریب اصطکاک فقط ناشی از تماس زبری‌ها است. در نقطه گام تعداد دندانه‌های در تماس از یک جفت دندانه به دو جفت دندانه تغییر می‌کند. در نتیجه بار اعمال شده کاهش می‌یابد که باعث افزایش ناگهانی ضخامت فیلم روان کار و کاهش ناگهانی لزجت روان کار می‌شود. این تغییرات باعث کاهش ناگهانی در ضریب اصطکاک فیلم روان کار می‌شود.

6- مراجع

- [1] Dowson, D., and Higginson, G. R., "A Theory of Involute Gear Lubrication", Proceeding of a Symposium Organized by the Mechanical Tests of Lubricants Panel of the Institute, Institute of Petroleum, *Gear Lubrication*, Elsevier, London. pp. 8-15, 1964.
- [2] Martin, K.F., "The Efficiency of Involute Spur Gears", *Journal of Mechanical Design*. vol. 103, pp. 160-169, 1981.
- [3] Adkins, R.W., and Radzimovsky, E. I., "Lubrication Phenomena in Spur Gears: Capacity, Film Thickness Variation, and Efficiency", *Journal of Basic Engineering*. pp. 1-9, 1964.
- [4] Simon, V., "Load Capacity and Efficiency of Spur Gears in Regard to Thermo-End Lubrication", *International Symposium on Gearing and Power Transmissions*, Tokyo, Japan. 1981.
- [5] Larsson, R., "Transient Non-Newtonian Elastohydrodynamic Lubrication Analysis of an Involute Spur Gears", *Wear*. vol. 207, pp. 67-73, 1997.
- [6] Wang, Y., Li, H., Tong, J., and Yang, P., "Transient Thermalelastohydrodynamic Lubrication Analysis of an Involute Spur Gear", *Tribology International*. vol. 37, pp. 773-782, 2004.
- [7] Wu, S., and Cheng, H. S., "A Friction Model of Partial-EHL Contacts and its Application to Power Loss in Spur Gears", *Tribology Transactions*. vol. 34, pp. 398-407, 1991.
- [8] Mihalidis, A., Bakolas, V., Panagiotidis, K., and Drivakos, N., "Prediction of The Friction Coefficient of Spur Gear Pairs", *VDI-Berichte, NR.* . vol. 1665, pp. 705-719, 2002.
- [9] Akbarzadeh, S., and Khonsari, M.M., "Performance of Spur Gears Considering Surface Roughness and Shear Thinning Lubricant", *J Tribol-T ASME*. vol. 130(2), p. 021503, 2008.
- [10] Greenwood, J.A., and Tripp, J.H., "The contact of two nominal flat rough surfaces", *Proc. Inst. Mech. Engrs.*, vol. 185, 1970.
- [11] Gelinck, E.R.M., and Schipper, D. J., "Calculation of Stribeck Curves for Line Contacts", *Tribol.* vol. 33, pp. 175-181, 2000.
- [12] Majzedi, M., and Khonsari, M. M. , "Film Thickness and Asperity Load Formulas for Line-Contact EHL with Provision for Surface Roughness", *J. Tribol.* . vol. 134, 2012.
- [13] Johnson, K.L., Greenwood, J. A., and Poon, S. Y., "A Simple Theory of Asperity Contact in Elastohydrodynamic Lubrication", *Wear*. vol. 19, pp. 91-108, 1972.
- [14] Zhao, Y., Maietta, D.M., and Chang, L. , "An asperity microcontact model incorporating the transition from elastic deformation to fully plastic flow", *Tribology*. vol. 122, pp. 86-93, 2000.
- [15] Moes, H., "Optimum similarity analysis with applications to elastohydrodynamic lubrication", *Wear*. vol. 159, pp. 57-66, 1992.
- [16] Hamrock, B.J., *Fundamentals of Fluid Film Lubrication*, McGraw Hill, New York, 1994.
- [17] Greenwood, J.A., and Williamson, J.B.P. "Contact of nominally flat surfaces", *Proc. R. Soc. London Ser. A*, pp. 300-319, 1966.
- [18] Johnson, K.L., *Contact mechanics*, Cambridge University Press, UK.1985.
- [19] Abbott, E.J., and Firestone, F.A., "Specific surface quality - a method based on accurate measurement and comparison", *Mech. Engr.* . vol. 55, pp. 568-569, 1933.
- [20] ISO TC 60, D.

توسط زبری‌ها ضخامت فیلم روان کار افزایش می‌یابد. همچنین ضخامت فیلم روان کار نیز دارای رابطه عکس با ضرب اصطکاک فیلم روان کار است و با افزایش ضخامت فیلم روان کار، ضرب اصطکاک فیلم روان کار کاهش می‌یابد. از آنجا که ضرب اصطکاک فیلم روان کار سهم غالب از ضرب اصطکاک کل را دارد است، با کاهش ضرب اصطکاک فیلم روان کار، ضرب اصطکاک کل هم کاهش می‌یابد که در شکل 13 نشان داده شده است.

بر خلاف نیروی کل اعمالی که در قسمت قبل به آن اشاره شد، سرعت غلتی پارامتری است که اثری مستقیم بر ضخامت فیلم روان کار می‌گذارد و با افزایش سرعت غلتی ضخامت فیلم روان کار افزایش می‌یابد که در شکل 14 نشان داده شده است.

با افزایش ضخامت فیلم روان کار، ضرب اصطکاک فیلم روان کار کاهش می‌یابد و از آنجا که فیلم روان کار سهم غالب را در ضرب اصطکاک کل دارد باعث کاهش ضرب اصطکاک می‌شود که در شکل 15 نشان داده شده است.

5- نتیجه‌گیری

در این مقاله به کمک روش تقسیم بار، مدلی برای پیش‌بینی ضرب اصطکاک و سایر پارامترهای عملکردی در چرخ دنده‌های ساده پیشنهاد شده است. این مدل، علاوه بر تغییر شکل الاستیک زبری‌ها تغییر شکل الاستوپلاستیک و تغییرشکل پلاستیک زبری‌ها را نیز لحاظ می‌کند. برای هر نقطه از درگیری در طول خط عمل چرخ دنده، تماس بر روی پروفیل اینولوت چرخ دنده‌ها با تماس دو استوانه جایگزین شده است. شعاع‌های این استوانه‌ها و همچنین بار اعمال شده در هر نقطه متفاوت است و به کمک روش‌های هندسی بدست می‌آید. خروجی‌های این مدل شامل ضخامت لایه روان کار بین دندانه‌های چرخ دنده‌ها، سهم بار منتقل شده توسط زبری‌ها و لایه روان کار، و ضرب اصطکاک است. افزایش بار منتقل شده باعث کاهش ضخامت لایه روان کار و در نتیجه افزایش ضرب اصطکاک می‌گردد. افزایش سرعت، باعث افزایش ضخامت لایه روان کار و در نتیجه در تحلیل همدادی انجام شده باعث کاهش ضرب اصطکاک می‌گردد. همچنین افزایش زبری سطح باعث افزایش تماس ضرب اصطکاک می‌گردد. این افزایش بار تحمل شده توسط زبری‌ها می‌گردد. مدل بین زبری‌ها و در نتیجه افزایش بار تحمل شده توسط زبری‌ها می‌گردد. مدل را انه شده در این مقاله با لحاظ کردن اثر زبری سطح، زمان بسیار کوتاهی برای پیش‌بینی عملکرد سیستم چرخ دنده-پینیون دارد و در عین حال از دقیق قابل قبولی برخوردار است.